

ORIGINAL ARTICLE

Effect of Quercetin on Methotrexate-induced Hepatic and Renal Damages in Male Rats

Elham Moradi¹,
Esfandiar Heidarian²,
Mostafa Gholami-Arjenaki³,
Javad Saffari-Chaleshtori⁴,
Gashtasb Mardani⁵,
Alireza Karimi-Taghanaki⁶,
Zahra Normohammadian⁷

¹ General Practitioner, Clinical Biochemistry Research Center, Shahrekord University of Medical Sciences, Shahrekord, Iran

² Professor, Clinical Biochemistry Research Center, Shahrekord University of Medical Sciences, Shahrekord, Iran

³ MSc in Animal Physiology, Clinical Biochemistry Research Center, Shahrekord University of Medical Sciences, Shahrekord, Iran

⁴ MSc in Biochemistry, Clinical Biochemistry Research Center, Shahrekord University of Medical Sciences, Shahrekord, Iran

⁵ MSc in Environmental Health, Medical Plants Research Centre, Faculty of Health, Shahrekord University of Medical Sciences, Shahrekord, Iran

⁶ Medical Laboratory Technician, Medical Plants Research Centre, Shahrekord University of Medical Sciences, Shahrekord, Iran

⁷ BSc in Medical Laboratory, Cellular and Molecular Research Center, Shahrekord University of Medical Sciences, Shahrekord, Iran

(Received April 27, 2015 ; Accepted July 25 , 2015)

Abstract

Background and purpose: Methotrexate as a chemotherapy drug causes chronic liver damage, infiltration of neutrophils, oxidative stress, and direct renal tubular damage. Quercetin is a flavonoid with antioxidant and anti-inflammatory properties. Therefore, the aim of this study was to investigate the effect of quercetin on eliminating the liver and kidney toxicity of methotrexate.

Materials and methods: In this experimental study, 32 rats were divided into 4 groups. Group I (control) was given regular diet. Group II received single-dose methotrexate. Group III received methotrexate + a single dose quercetin and the last group (positive control) received methotrexate + a single dose silymarin. After five days, blood samples were taken and the serum GOT, GPT, ALP, Cr, urea and antioxidant capacity of plasma were measured. Some parts of liver and kidney were removed to measure the liver and kidney SOD, MDA, catalase activity and histopathological studies.

Results: Serum GOT, GPT, ALP, Cr, and liver and kidney MDA were significantly higher ($P<0.05$) in group II, compared with those of the control group. These parameters significantly decreased ($P<0.05$) in group III. Compared to the control group, antioxidant capacity of plasma, activity of the liver and kidney SOD, catalase and serum urea decreased significantly in group II ($P<0.05$). Administration of quercetin significantly increased these parameters ($P<0.05$) and decreased hepatic and renal lymphocyte infiltration.

Conclusion: According to the results, administration of quercetin could have a protective role in preventing liver and renal toxicity induced by methotrexate which could be due to its antioxidant property.

Keywords: Quercetin, liver toxicity, renal toxicity, methotrexate

J Mazandaran Univ Med Sci 2015; 25(127): 25-37 (Persian).

بررسی اثر کوئرستین بر آسیب‌های کبدی و کلیوی ناشی از متوترکسات در موش صحرایی نر

الهام مرادی^۱
اسفندیار حیدریان^۲
مصطفی غلامی ارجمندی^۳
جواد صفاری چالشتری^۴
گشتاسب مردانی^۵
علیرضا کریمی طاقانکی^۶
زهرا نورمحمدیان^۷

چکیده

سابقه و هدف: متوترکسات به عنوان داروی شیمی درمانی باعث آسیب مزمن هپاتوسولوار، ارتراح سلول‌های التهابی، استرس اکسیداتیو و آسیب مستقیم روی لوله‌های کلیه می‌شود. کوئرستین یک فاکونوئید با خواص آنتی‌اکسیدانی و ضد التهابی است. بنابراین، هدف از این پژوهش بررسی اثر کوئرستین روی رفع سمیت کبدی و کلیوی ناشی از متوترکسات می‌باشد.

مواد و روش‌ها: در این مطالعه تجربی، ۳۲ سر موش صحرایی به ۴ گروه تقسیم شدند. گروه اول (شاهد) غذای معمولی، گروه دوم (تست بدون درمان) متوترکسات تک دوز، گروه سوم متوترکسات با کوئرستین و گروه چهارم (کنترل مثبت) متوترکسات با سیلیمارین دریافت کردند. پس از ۵ روز، نمونه‌های خون تهیه شد و Cr, ALP, GOT, GPT اوره سرم و ظرفیت آنتی‌اکسیدانی پلاسما اندازه‌گیری شدند. بخش‌های از کبد و کلیه جهت اندازه‌گیری فعالیت آنزیم کاتالاز، مالون دی آلدئید و SOD کبدی و کلیوی و مطالعات هیستوپاتولوژیکی برداشته شد.

یافته‌ها: مقدار سرمی MDA, Cr, ALP, GOT، کبدی و کلیوی در گروه دوم، نسبت به گروه کنترل افزایش معنی داری ($p < 0.05$) را نشان داد. پارامترهای مذکور به طور معنی داری ($p < 0.05$) در گروه دریافت کننده کوئرستین کاهش یافت. FRAP، کاتالاز کبدی و کلیوی و اوره سرم در گروه دوم، به طور معنی داری ($p < 0.05$) نسبت به گروه کنترل کاهش یافت. تجویز کوئرستین باعث افزایش معنی دار ($p < 0.05$) این پارامترها و کاهش ارتشارات لنفوسيتی کبدی و کلیوی گردید.

استنتاج: بر اساس این نتایج، تجویز کوئرستین در رفع مسمومیت کبدی و کلیوی ناشی از متوترکسات نقش محافظتی دارد که به علت خاصیت آنتی‌اکسیدانی این ماده می‌باشد.

واژه‌های کلیدی:

کوئرستین، مسمومیت کبدی، مسمومیت کلیوی، متوترکسات

مقدمه

متوترکسات (Methotrexate، MTX) یکی از ترکیبات ضد سرطان با کاربرد بالینی می‌باشد(۱). این درمانی استفاده می‌شود. متوترکسات در درمان فرم‌های

مولف مسئول: اسفندیار حیدریان - شهرکرد: رحمتی، مرکز تحقیقات بیوشیمی بالینی، دانشگاه علوم پزشکی شهرکرد

۱. پژوهش عمومی، مرکز تحقیقات بیوشیمی بالینی، دانشگاه علوم پزشکی شهرکرد، شهرکرد، ایران

۲. استاد بیوشیمی بالینی، مرکز تحقیقات بیوشیمی بالینی، دانشگاه علوم پزشکی شهرکرد، شهرکرد، ایران

۳. کارشناس ارشد فیزیولوژی جانوری، مرکز تحقیقات بیوشیمی بالینی، دانشگاه علوم پزشکی شهرکرد، شهرکرد، ایران

۴. کارشناس ارشد بیوشیمی، مرکز تحقیقات بیوشیمی بالینی، دانشگاه علوم پزشکی شهرکرد، شهرکرد، ایران

۵. کارشناس ارشد بهداشت محیط، مرکز تحقیقات گیاهان دارویی، دانشگاه علوم پزشکی شهرکرد، شهرکرد، ایران

۶. کارشناس علوم آزمایشگاهی، مرکز تحقیقات گیاهان دارویی، دانشگاه علوم پزشکی شهرکرد، شهرکرد، ایران

۷. کارشناس علوم آزمایشگاهی، مرکز تحقیقات سلولی مولکولی، دانشگاه علوم پزشکی شهرکرد، شهرکرد، ایران

۸. تاریخ دریافت: ۱۳۹۴/۲/۷ تاریخ ارجاع چهت اصلاحات: ۱۳۹۴/۲/۷ تاریخ تصویب: ۱۳۹۴/۵/۳

کاهش آزادسازی واسطه های اکسیدانی و التهابی می شود^(۱۹). این ترکیب دارای اثر محافظتی در برابر آسیب اکسیداتیو است و با کاهش آسیب اکسیداتیو در کبد از افزایش آلکالین فسفاتاز (ALP)، آلانین ترانسفراز (GPT) و آسپارتات ترانسفراز (GOT) جلوگیری می کند^(۲۰). در رابطه با اثر کوئرستین بر آسیب کبدی و کلیوی ناشی از متوتر کسات اطلاعات جامعی در دست نیست و در مطالعات قبلی پارامترهای محدودی بررسی شده اند^(۲۱). بنابراین، هدف از این تحقیق بررسی اثر کوئرستین بر رفع اثرات سمی متوتر کسات بر روی بافت کبدی، کلیوی و آنزیم های آنتی اکسیدانی کبد و کلیه می باشد.

مواد و روش ها

در این مطالعه تجربی، از ۳۲ سر موش صحرایی نراز نژاد ویستان، با سن ۸ هفته و وزن ۲۰۰ ± ۵۰ گرم استفاده شد. موش های صحرایی از دانشگاه علوم پزشکی اهواز خردباری شدند. این مطالعه در مرکز تحقیقات بیوشیمی بالینی دانشگاه علوم پزشکی شهر کرد در سال ۱۳۹۳ انجام شد. برای کاهش میزان تلفات موش ها و تطابق بیش تر با محیط، ۲ هفته قبل از شروع تحقیق، موش ها به محل نگهداری منتقل شدند. موش های صحرایی در دمای ۲۲-۲۴ درجه سانتی گراد و سیکل ۱۲ ساعت تاریکی و ۱۲ ساعت روشنایی نگهداری شدند. غذای موش های صحرایی، غذای استاندارد پلیت شده (تهیه شده از شرکت پارس دام ایران) و آب بود که به صورت نامحدود در دسترس آنها قرار گرفت و از هیچ نوع واکسن و داروی دیگری استفاده نشد. روشن ها و مراحل تحقیق توسط کمیته اخلاق دانشگاه علوم پزشکی شهر کرد مورد تایید قرار گرفت. در این مطالعه، تمام نکات اخلاقی کار با حیوانات آزمایشگاهی رعایت شد و موش ها در شرایط استاندارد نگهداری شدند. وسایل مورد استفاده شامل اسپکتروفوتومتر Unico (مدل ۲۱۰۰، آمریکا)، دستگاه هموژنایزر Heidolph (مدل M)، Silentcrusher

خطروناک، تومورهای بدخیم مثل بدخیمی های خون، لنف، پستان، رحم و برخی بیماری های دیگر مثل آرتربیت روماتوئید^(۴) و بیماری های پوستی مثل لیکن پلان ژنرالیزه^(۵) استفاده می شود. به هر حال متوتر کسات درمان اساسی در برخی بیماری ها است، اما عوارض جانبی متفاوتی در استفاده از آن گزارش شده است، به طوری که متوتر کسات در بافت های مختلف بدن خصوصاً کیسه صفراء، کبد و کلیه تجمع می یابد^(۶). بنابراین، متوتر کسات به علت ایجاد سمیت کبدی و کلیوی می تواند تهدید کننده حیات باشد^(۷) و موجب کاهش مصرف این دارو برای بیماران شود^(۲). متوتر کسات یک هپاتوتوكسیک بالقوه است و مطالعات حاکی از اثر سمی متوتر کسات به واسطه تشکیل رادیکال فعل اکسیژن می باشد^(۹). مطالعات نشان داده اند که متوتر کسات با مکانیسم استرس اکسیداتیو باعث ایجاد رادیکال های آزاد و منجر به آسیب مستقیم توبول های کلیه می شود^(۱۰). کوئرستین (Quercetin) یک محصول پلی فلی در گیاهان است. کوئرستین یکی از فراوان ترین و مهم ترین ترکیبات خانواده فلاونوئیدها به شمار می رود، زیرا بیش ترین خاصیت آنتی اکسیدانی را در میان سایر فلاونوئیدها دارد و حتی در مقایسه با ویتامین "ث" نیز حدود شش برابر قوی تر است. کوئرستین در سبزیجات، میوه جات، پیاز، سیب، انگور قرمز، مرکبات، کلم بروکلی و گوجه فرنگی، چای سبز و سیاه و شکلات تیره وجود دارد^(۱۱-۱۳). تحقیقات انجام گرفته حاکی از اثرات حفاظتی کوئرستین بر روی کبد، قلب، کلیه ها، نورون ها و DNA در برابر عوامل آسیب زا می باشد^(۱۴-۱۶). هم چنین، این ترکیب اثرات ضد سرطانی، ضد ویروسی، ضد میکروبی، ضدآلرژی، ضد فشارخون و محافظت در برابر کاتاراکت^(۱۷) دارد. علاوه بر این، کوئرستین خاصیت آنتی اکسیدانی و ضد التهابی نیز دارد^(۱۷، ۱۳) و باعث حفظ سطح سرمی گلوتاتیون و کاهش سطح سرمی مالون دی آلدئید و کاهش متابولیسم نیتریک اکسید و تشکیل سوبر اکسید،

اندازه گیری پارامتر های بیوشیمیایی سرم ALP، GPT، GOT، اوره و کراتینین سرم با استفاده از کیت شرکت پارس آزمون و با دستگاه اتو آنالیزور BT3000 به روش آنتیمی اندازه گیری شدن.

اندازه گیری ظرفیت آنتی اکسیدانی پلاسمای (FRAP) طرفیت آنتی اکسیدانی (FRAP) با استفاده از تری پیریدیل تری آذین طبق طبق روشی که قبلاً توضیح داده شده است (۲۴) با استفاده از روش اسپکتروفوتومتری اندازه گیری شد. در این روش Fe^{2+} با ترکیب تری پیریدیل تری آذین ایجاد کمپلکس آبی رنگی می کند که در طول موج ۵۹۳ نانومتر دارای ماکریزم جذب نوری است. منحنی استاندارد با استفاده از FeSO_4 و در غلظت های مختلف ($1000\text{ }\mu\text{M}-500\text{-}250\text{-}125$) تهیه و به صورت خطی رسم گردید و جذب نوری تمامی نمونه ها با استفاده از منحنی استاندارد تعیین غلظت شدند.

اندازه گیری مالون دی آلدئید غلظت مالون دی آلدئید (MDA) سرم با دستگاه HPLC (Agilent, USA) و به روشی که قبلاً توضیح داده شد، اندازه گیری شد (۲۵). به طور خلاصه، در یک میکروتیوب ۲ میلی لیتری، ۵۰ میکرولیتر از سرم ریخته و سپس به آن ۵۰ میکرولیتر محلول درصد از BHT-Butylatedhydroxytoluene (BHT) تهیه شده در اتانول ۰/۹۵ درصد، ۴۰۰ میکرولیتر اسید فسفویریک ۰/۴۴ میلی مولار و ۱۰۰ میکرولیتر از محلول اسید تیوباریتوريک (TBA) ۴۲ میلی مولار اضافه شد. محلول حاصله ور تکس شد و به مدت ۱ ساعت در دمای ۱۰۰ درجه در انکوباتور گذاشته شد. سپس نمونه ها به مدت ۵ دقیقه بر روی یخ جهت سرد شدن، قرار داده شدند. متعاقباً ۲۵۰ میکرولیتر بوتانول جهت استخراج کمپلکس MDA- میکروتیوب اضافه و به مدت ۵ دقیقه ور تکس TBA به میکروتیوب اضافه و به مدت ۵ دقیقه ور تکس و در ۱۴۰۰۰ دور در دقیقه سانتریفیوژ گردید و از محلول رویی ۱۰۰ میکرولیتر به دستگاه HPLC تزریق

آلمان)، دستگاه اتو آنالیزور BT300 (فرانسه)، کیت های تجاری ALP، GPT و GOT، اوره، کراتینین از شرکت پارس آزمون (ایران، تهران)، تری پیریدیل تری آذین، استاندارد مالون دی آلدئید آب اکسیژن از شرکت مرک (آلمان) و کوئرستین، متواتر کسات و سلیمارین از شرکت سیگما (آمریکا) خریداری شدند. موش های صحرایی نر به طور تصادفی به ۴ گروه هشت تایی تقسیم شدند. گروه اول (شاهد): غذای استاندارد پلیت شده را دریافت کرد و ۰/۵ سی سی سرم فیزیولوژی به صورت درون صفاقی (برای برابری در شوک حاصل از تزریق با سایر گروهها) دریافت کردند و به مدت ۵ روز ۰/۵ سی سی آب مقطر به صورت دهانی با گواژ دریافت کردند. گروه دوم (گروه تست بدون درمان)، که ۲۰mg/Kg وزن بدن متواتر کسات تک دوز (طبق مطالعات انتشار یافته) به روش درون صفاقی دریافت کردند (۲۱) و سپس به مدت ۵ روز ۰/۵ سی سی آب مقطر به صورت دهانی با گواژ دریافت کردند. گروه سوم: ۲۰mg/Kg وزن بدن متواتر کسات تک دوز به روش درون صفاقی و ۵۰mg/Kg وزن بدن کوئرستین (طبق مطالعات انتشار یافته) نیز به صورت دهانی (۲۲، ۲۱) با گواژ به مدت ۵ روز دریافت کردند. گروه چهارم (گروه کنترل مثبت): ۲۰mg/Kg وزن بدن متواتر کسات تک دوز به روش درون صفاقی و ۵۰mg/Kg وزن بدن سلیمارین را به صورت دهانی با گواژ به مدت ۵ روز دریافت کردند (۲۳). پس از پایان ۵ روز، موش های صحرایی با کلروفورم بیهوش شدند و از قلب آن ها خون گیری شد. سپس سرم و پلاسمای روش آنتی اکسیدانی سرم، اوره، کراتینین و مالون دی آلدئید تهیه شد. بخشی از بافت کبد و کلیه هم جهت مطالعات هیستوپاتولوژیکی و اندازه گیری فعالیت آنتیمی کاتالاز، سوپر اکسید دیسموتاز کبدی و کلیوی برداشته شد.

آنزیم بر حسب فعالیت مخصوص محاسبه شد.

اندازه گیری میزان فعالیت آنزیم SOD برای اندازه گیری میزان فعالیت آنزیم SOD بافت کبدی و کلیوی، از کیت (Glory Science, USA) و طبق دستور شرکت سازنده استفاده شد.

بررسی بافت شناسی

نمونه های بافت کبد و کلیه موش ها تهیه و در فرمالین ۲۰ درصد نگهداری شد. پس از مراحل آماده سازی بافتی و تهیه بلوک های پارافینی، مقاطع ۵ میکرونی از بافت های تهیه و به روش هماتوکسیلین و ائوزین (H&E) رنگ آمیزی شد (۲۸). سپس توسط میکروسکوپ نوری مورد مطالعه قرار گرفتند و آسیب بافتی در آن ها ارزیابی شد. برای تجزیه و تحلیل دادها از نرم افزار SPSS (Version 18) و تست ANOVA یک طرفه برای آنالیز نتایج استفاده شد. از تست Post hoc Tukey برای مقایسه گروه ها به صورت دو به دو استفاده شد و P<0.05 معنی دار در نظر گرفته شد.

یافته ها

در جدول شماره ۱ اثر متوتر کسات و کوئرستین بر روی مقادیر سرمی ALP، GPT، اووه، کراتینین و ظرفیت آنتی اکسیدانی پلاسمای (FRAP) در گروه های تحت آزمایش دیده می شود. میانگین فعالیت آنزیم های GPT، ALP و مقدار کراتینین در گروه ۲ (دریافت کننده متوتر کسات بدون درمان)، نسبت به سایر گروه ها به طور معنی داری ($P<0.05$) افزایش پیدا کرد، ولی FRAP و اووه در گروه ۲ نسبت به سایر گروه ها به طور معنی داری ($P<0.05$) کاهش پیدا کرد. از طرف دیگر، تجویز کوئرستین و سلیمارین باعث کاهش معنی دار ($P<0.05$) غلظت سرمی GPT، GPT و کراتینین به ترتیب در گروه سوم (تحت درمان با کوئرستین) و گروه چهارم (گروه کنترل مثبت) شد،

شد. شرایط دستگاه HPLC عبارت بود از ستون C18، فاز متحرک شامل متانول و بافر فسفات پتاسیم منوبازیک ۵۰ میلی مولار با pH مساوی ۶/۸ (به نسبت ۴۰ به ۶۰)، سرعت فاز متحرک ۱ میلی لیتر در دقیقه، دمای ستون ۳۷ درجه سانتی گراد، Excitation Emission فلورسانس در طول موج ۵۱۵ نانومتر و ۵۵۳ دتکتور در طول موج ۵۵۳ نانومتر تنظیم شد. از دتکتور در طول موج ۵۵۳ نانومتر تنظیم شد. از مالون دی آلدئید استفاده شد.

اندازه گیری میزان فعالیت آنزیم کاتالاز (بافت کبد) میزان فعالیت آنزیم کاتالاز بافت کبدی طبق روشی که قبلًا توضیح داده شد، اندازه گیری شد (۲۶). پس از خارج کردن بافت کبدی، بافت های زائد آن جدا گردید و با سرم فیزیولوژی شستشو داده شد. سپس ۱ گرم از بافت کبد قطعه قطعه و در یک استوانه شیشه ای ریخته شد و به میزان ۴ برابر حجم، به آن بافر فسفات ۵۰ میلی مولار هموژنیزاسیون اضافه و با استفاده از هموژنایزر (Heidolph, Silentcrusher M model, Germany) به مدت ۴ دقیقه در دور ۱۰۰۰۰ RPM مدت ۴ دقیقه در دور ۱۰۰۰۰ RPM سوپانسیون حاصل به مدت ۱۰ دقیقه در دور ۴۵۰۰ سانتریفیوژ شد تا سلول های هموژنیزه شده رسوب کنند و محلول هموژن خالص برای اندازه گیری فعالیت آنزیم کاتالاز با استفاده از آب اکسیژن به عنوان سوبسترا طبق روش مورد استفاده قرار گرفت. ۵۰ میکرولیتر از مایع فوقانی سانتریفیوژ شده را برداشته و با ۲۵ میلی لیتر بافر فسفات به میزان ۵۰۰ بار رقیق گردید. سپس ۲ میلی لیتر از این محلول در داخل کووت ریخته شد و ۱ میلی لیتر پراکسید هیدروژن ۳۰ میلی مولار را به آن اضافه گردید و کاهش جذب نوری توسط دستگاه اسپکتروفوتومتر در طول موج ۲۴۰ نانومتر در مقابل بلانک هر ۱۵ ثانیه یک بار قرائت شد. مقدار پروتئین به روش برادفورد (۲۷) و با استفاده از سرم آلبومین گاوی به عنوان استاندارد اندازه گیری گردید و سپس فعالیت

جدول شماره ۱: مقادیر سرمی ALP، GOT، GPT و FRAP در گروه های مورد مطالعه

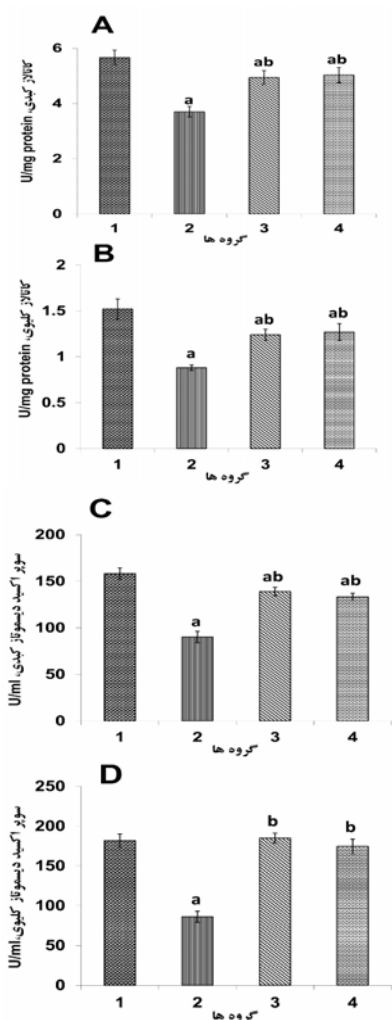
| گروه ها | ALP (U/L) | GPT (U/L) | GOT (U/L) | FRAP (میکرومولار) | کراتینین (mg/dl) | اوره (mg/dl) |
|--------------------|-----------------------------|---------------------------|---------------------------|-----------------------------|-------------------------|--------------------------|
| گروه ۱ (شاهد) | ۳۵۶/۱۲±۳۲/۴۳ | ۵۵/۸۷±۷/۴۷ | ۱۴۲/۷۷±۷/۴۸ | ۲۶/۴۸±۶/۳۲ | ۰/۶۰±۰/۰۸ | ۴۱/۱۸±۱/۹۶ |
| گروه ۲ (متوترکسات) | ۷۸۲/۱۲±۶۱/۵۴ ^a | ۲۷۷/۸۷±۲۵/۶۵ ^a | ۳۰/۵±۲۵/۷۱ ^a | ۵۱۱/۱۰/۱±۲۸/۰۶ ^a | ۰/۸۲±۰/۰۷ ^a | ۳۰/۲۰±۱/۴۲ ^a |
| گروه ۳ (کوئرستین) | ۵۴۲/۲۷±۲۲/۴۴ ^{ab} | ۹۳/۸۷±۱۱/۴۵ ^{ab} | ۱۷۳/۷۵±۸/۴۶ ^{ab} | ۷۸۷/۷۰±۵/۱۳ ^{ab} | ۰/۷۵±۰/۰۷ ^{ab} | ۳۵/۷۷±۱/۳۶ ^{ab} |
| گروه ۴ (سلیمارین) | ۴۵۳/۱۲±۲۶/۸۷ ^{abc} | ۸۹/۶۲±۹/۱۳ ^{ab} | ۱۶۵/۳۷±۶/۳۲ ^{ab} | ۸۲۸/۹۶±۵۴/۸۱ ^{ab} | ۰/۷۴±۰/۰۴ ^{ab} | ۳۷/۶۵±۱/۴۶ ^{ab} |

حجم نمونه در هر گروه ۸ سر موش صحرایی نر. گروه اول شاهد (Control)، گروه دوم موش های تست (دریافت کننده متوترکسات ۲۰ میلی گرم بر کیلو گرم وزن بدن) بدون درمان، گروه سوم موش های تست تحت درمان با کوئرستین (۵۰ میلی گرم بر کیلو گرم وزن بدن) و گروه چهارم موش های تست تحت درمان با سلیمارین (۵۰ میلی گرم بر کیلو گرم وزن بدن).

^a: p در مقایسه با مقادیر میانگین گروه اول (گروه شاهد). ^b: p در مقایسه با مقادیر میانگین گروه سوم.

اعداد به صورت Mean±SEM نشان داده اند.

^c: p در مقایسه با مقادیر میانگین گروه دوم.



تصویر شماره ۱: مقادیر سوپراکسیدیسموتاز (SOD) و کاتالاز کبدی و کلیوی در گروه های مورد مطالعه

^a: p در مقایسه با مقادیر میانگین گروه اول (گروه شاهد).

^b: p در مقایسه با مقادیر میانگین گروه دوم.

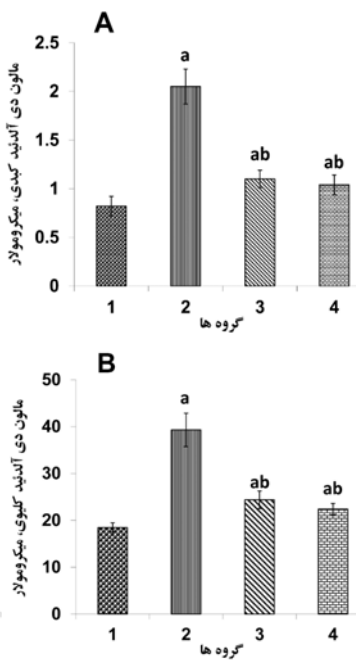
اعداد به صورت Mean±SEM نشان داده اند.

حجم نمونه در هر گروه ۸ سر موش صحرایی نر. گروه اول شاهد (Control)، گروه دوم موش های تست (دریافت کننده متوترکسات ۲۰

ولی در این دو گروه تجویز کوئرستین و سلیمارین باعث افزایش معنی داری (p<0.05) در میزان FRAP و اوره نسبت به گروه ۲ (دریافت کننده متوترکسات بدون درمان) شد. نتایج حاکی از اثر تقریباً یکسان کوئرستین در دوز به کار رفته در مقایسه با دوز به کار رفته سلیمارین بود.

نتایج فعالیت مخصوص کاتالاز کبدی و کلیوی در گروه های مورد مطالعه

در تصویر شماره ۱ (A و B) مشاهده می گردد که میانگین فعالیت آنزیم کاتالاز کبدی و کلیوی در گروه دوم (دریافت کننده متوترکسات بدون درمان) نسبت به سایر گروه ها، کاهش معنی داری را نسبت به سایر گروه ها نشان داد (p<0.05). میانگین فعالیت آنزیم کاتالاز کبدی و کلیوی در گروه سوم (تحت درمان با کوئرستین) و چهارم (دریافت کننده متوترکسات بدون درمان) به گروه ۲ (دریافت کننده متوترکسات بدون درمان) افزایش معنی داری را نشان داد (p<0.05). از طرف دیگر، میانگین فعالیت آنزیم کاتالاز کبدی و کلیوی در گروه ۴ (تحت درمان با سلیمارین)، نسبت به گروه ۳ (تحت درمان با کوئرستین)، اختلاف معنی دار پیدا نکرد (p>0.05). کوئرستین در بالا بردن فعالیت آنزیم کاتالاز کبدی و کلیوی، اثر و قدرتی تقریباً مشابه با سلیمارین (گروه کنترل مثبت) در دوز مورد استفاده را نشان داد.



تصویر شماره ۲: مقادیر مالون دی آلدید (MDA) کبدی و کلیوی در گروه های مورد مطالعه

حجم نمونه در هر گروه ۸ سر موش صحرایی نر. گروه اول شاهد (Control)، گروه دوم موش های تست (دریافت کننده متوتر کسات ۲۰ میلی گرم بر کیلو گرم وزن بدن) بدون درمان، گروه سوم موش های تست تحت درمان با کوئرسیتین (۵۰ میلی گرم بر کیلو گرم وزن بدن) و گروه چهارم موش های تست تحت درمان با سیلیمارین (۵۰ میلی گرم بر کیلو گرم وزن بدن). $p < 0.05$ در مقایسه با مقادیر میانگین گروه اول (گروه شاهد). $p < 0.05$ در مقایسه با مقادیر میانگین گروه دوم. اعداد به صورت Mean \pm SEM نشان داده شده اند.

نتایج تاثیر کوئرسیتین بر تغییرات هیستوپاتولوژی بافت های کبدی و کلیوی گروه های مورد مطالعه

تغییرات هیستوپاتولوژی بافت کبدی و کلیوی به ترتیب در تصاویر شماره ۳ و ۴ مشاهده می شود. همان طور که دیده می شود در موش های صحرایی شاهد مورفولوژی سلول های طبیعی می باشیم (تصاویر ۳ و ۴-A). اما، در گروه دوم (دریافت کننده متوتر کسات بدون درمان) بافت کبدی و کلیوی نسبت به بقیه، دارای ارتضاحات لنفویستی و پرخونی می باشدند (پیکان ها در تصاویر ۳ و ۴-B). از طرف دیگر، درمان با کوئرسیتین در گروه سوم باعث کاهش قابل توجه ارتضاحات لنفویستی و پرخونی نسبت به گروه تست بدون درمان شد (تصاویر ۳ و ۴-C).

میلی گرم بر کیلو گرم وزن بدن) بدون درمان، گروه سوم موش های تست تحت درمان با کوئرسیتین (۵۰ میلی گرم بر کیلو گرم وزن بدن) و گروه چهارم موش های تست تحت درمان با سیلیمارین (۵۰ میلی گرم بر کیلو گرم وزن بدن).

نتایج فعالیت آنزیم سوپر اکسید دیسموتاز کلیوی و کبدی (SOD) در گروه های مورد مطالعه

در تصویر شماره ۱ (C) و (D) مشاهده می گردد که میانگین فعالیت آنزیم SOD کبدی و کلیوی در گروه دوم (دریافت کننده متوتر کسات بدون درمان) نسبت به بقیه گروه ها دارای کاهش معنی داری ($p < 0.05$) بود. میانگین فعالیت آنزیم SOD کلیوی و کبدی در گروه ۳ (تحت درمان با کوئرسیتین) و ۴ (تحت درمان با سیلیمارین) نسبت به گروه دوم دارای افزایش معنی داری بود ($p < 0.05$ ، اما اختلاف معنی داری با گروه اول (شاهد) نداشت ($p > 0.05$). هم چنین، میانگین فعالیت آنزیم SOD کلیوی و کبدی در گروه ۳ (تحت درمان با کوئرسیتین) و ۴ (تحت درمان با سیلیمارین) اختلاف معنی داری با یکدیگر نداشتند ($p > 0.05$). کوئرسیتین در بالا بردن فعالیت آنزیم SOD کلیوی و کبدی، اثر و قدرتی تقریباً مشابه با سیلیمارین (گروه کنترل مثبت) در دوز مورد استفاده را نشان داد.

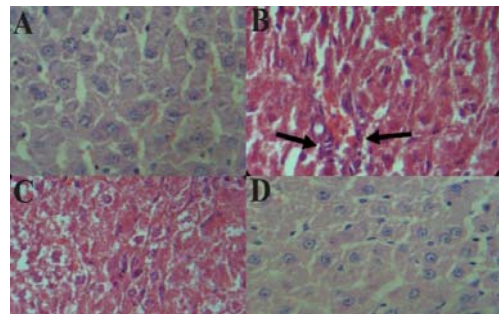
نتایج غاظت مالون دی آلدید (MDA) کبدی و کلیوی در گروه های مورد مطالعه

در تصویر شماره ۲ مشاهده می گردد که میانگین MDA کبدی و کلیوی در گروه ۲ (دریافت کننده متوتر کسات بدون درمان)، نسبت به سایر گروه ها به طور معنی داری ($p < 0.05$) افزایش پیدا کرده است. از طرف دیگر، میانگین MDA کبدی و کلیوی در گروه ۳ (تحت درمان با کوئرسیتین)، نسبت به گروه ۲ کاهش معنی داری ($p < 0.05$) داشت، اما نسبت به گروه ۴ (تحت درمان با سیلیمارین) اختلاف معنی داری را نشان نداد ($p > 0.05$). سیلیمارین و کوئرسیتین تقریباً در دوزهای مورد استفاده به یک میزان در کاهش MDA کبدی و کلیوی موثر بودند.

بحث

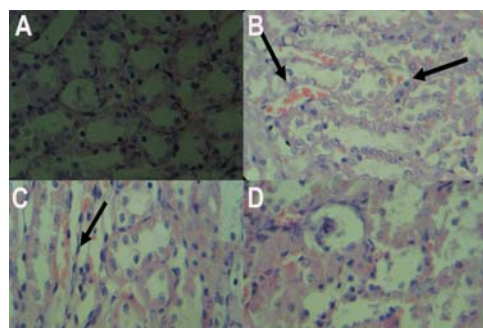
امروزه استفاده از گیاهان دارویی به عنوان یک جایگزین داروهای سنتیک شیمیابی به طور فراینده ای در حال گسترش است (۲۹). نتایج این مطالعه نشان داد مقادیر ALP, GPT, MDA, GOT کبدی و کلیوی در گروه دوم (دربافت کننده متواتر کسات بدون درمان)، نسبت به موش‌های دریافت کننده رژیم معمولی (گروه شاهد)، افزایش معنی‌داری را نشان می‌دهد که حاکمی از ایجاد آسیب کبدی و کلیوی در گروه تست بدون درمان است و با نتایج گزارش شده توسط سایر محققین همخوانی دارد (۳۰، ۳۱، ۷). از طرف دیگر، تجویز کوئرستین در گروه‌های تست تحت درمان نشان داد که کوئرستین قادر به کاهش موثری در میزان GOT، ALP و GPT و سرم و هم‌چنین میزان MDA سرمی و بافتی می‌باشد. همکاران Tunali-Akbay و همکاران Dalaklioglu همکاران در مطالعات جداگانه که به بررسی اثر Resveratrol بر سمیت کبدی متواتر کسات در موش پرداختند، نشان دادند متواتر کسات باعث افزایش سطح سرمی GOT، GPT و پراکسیداسیون چربی می‌شود که ترکیب مذکور باعث بهبود این پارامترها می‌شود (۳۲، ۳۰) که با نتایج به دست آمده در تحقیق ما همخوانی دارد. هم‌چنین، مطالعات قبلی نشان داد که کوئرستین باعث بهبود فعالیت آنزیم‌های کبدی و پارامترهای آنتی‌اکسیدان و افزایش فعالیت گلوتاتیون (۳۴، ۳۳، ۳۱) می‌شود که با نتایج به دست آمده در این تحقیق همخوانی دارد. Shanmugarajan و همکاران در بررسی اثر فلاونوئید کوئرستین بر آسیب اکسیداتیو کبد ناشی از آزادی‌پرین در موش ویستار نشان دادند که کوئرستین با کاهش ALT، AST و ALP دارای اثرات محافظتی بر سمیت کبدی است (۳۵) که با نتایج به دست آمده در این تحقیق همخوانی دارد. با توجه به این که کوئرستین دارای خاصیت آنتی‌اکسیدانی قابل توجه‌ای می‌باشد (۳۱)، بنابراین در تحقیق ما اثرات مثبت ایجاد شده در مهار سمیت متواتر کسات

هم‌چنین، گروه چهارم موش‌های تست تحت درمان با سیلیمارین به عنوان کنترل مثبت نیز کاهش قابل توجه ارتashاحات لنفوسيتي و پرخونی نسبت به گروه تست بدون درمان شد (تصاویر ۳ و ۴-D).



تصویر شماره ۳: نمای ریزیبینی از کبد موش‌های ویستار مورد آزمایش (هماتوکسیلین-اوزن)

- A- نمای ریزیبینی از کبد گروه شاهد سالم که ساختار آن طبیعی است.
- B- نمای ریزیبینی از کبد گروه تیمار با متواتر کسات که در آن ارتashاحات لنفوسيتي مشخص می‌باشد (پیکان‌ها).
- C- نمای ریزیبینی از کبد گروه تیمار با دوز کوئرستین ۵۰ میلی گرم بر کیلو گرم وزن بدن که در آن ارتashاحات لنفوسيتي بسیار کاهش یافته بود.
- D- نمای ریزیبینی از کبد گروه شاهد مثبت که با سیلیمارین ۵۰ میلی گرم بر کیلو گرم وزن بدن درمان شده است و کبد آن نسبتاً سالم به نظر رسیده و تغییر پاتولوژیک خاصی ندارد.



تصویر شماره ۴: نمای ریزیبینی از کلیه موش‌های ویستار مورد آزمایش (هماتوکسیلین-اوزن)

- A- نمای ریزیبینی از کلیه گروه شاهد سالم که ساختار آن طبیعی است.
- B- نمای ریزیبینی از کلیه گروه تیمار با متواتر کسات که در آن ارتashاحات لنفوسيتي مشخص می‌باشد (پیکان‌ها).
- C- نمای ریزیبینی از کلیه گروه تیمار با دوز کوئرستین ۵۰ میلی گرم بر کیلو گرم وزن بدن که در آن ارتashاحات لنفوسيتي بسیار کاهش یافته بود (پیکان‌ها).
- D- نمای ریزیبینی از کلیه گروه شاهد مثبت که با سیلیمارین ۵۰ میلی گرم بر کیلو گرم وزن بدن درمان شده است و کلیه آن نسبتاً سالم به نظر رسیده و تغییر پاتولوژیک خاصی ندارد.

های التهابی در بافت بینایینی کلیه موش می شود^(۳۷)) که با نتایج به دست آمده در تحقیق ما هم خوانی دارد. با این وجود، در این تحقیق مشاهده گردید که غالباً سرمی اوره در گروه دوم (گروه تست بدون درمان) کاهش معنی داری نسبت به گروه دریافت کننده سیلیمارین (گروه چهارم)، یک آنتی اکسیدان محافظ کبدی^(۲۶)، داشت که این اثر احتمالاً می تواند ناشی از آسیب بافت کبدی توسط متوترکسات و به دنبال آن کاهش سنتر اوره در سیکل اوره کبدی باشد چرا که در گروه تحت درمان با سیلیمارین، غلظت سرمی اوره تقریباً به سطح سرمی گروه شاهد نزدیک شد. به طور کلی در این رابطه می توان به مطالعات انجام گرفته بر روی کوئرستین اشاره کرد که نشان داده اند کوئرستین دارای خاصیت ضدالتهابی، آنتی اکسیدانی و محافظ کبدی و کلیوی قوی می باشد^(۱۸، ۱۶، ۱۵). سوپراکسید دیسموتاز (SOD)، آنزیمی است که در سیتوپلاسم سلولی حضور دارد و یکی از خطوط دفاعی در برابر رادیکال های آزاد است که سبب محافظت بافت ها از رادیکال های بسیار فعال هیدروکسیل می شود^(۳). در این مطالعه فعالیت SOD کبدی و کلیوی، هم چنین فعالیت کاتالاز کبدی و کلیوی در گروه بدون درمان نسبت به گروه های درمان کاهش معنی داری داشت (تصویر شماره ۱). این کاهش فعالیت آنزیم های آنتی اکسیدانی می تواند منجر به برخی اثرات مخرب ناشی از رادیکال ها شود. با تجویز کوئرستین، فعالیت آنزیم های کاتالاز کبدی و کلیوی افزایش معنی داری را نسبت به گروه دوم (گروه تست بدون درمان) نشان داد که با مطالعات محققین دیگر همخوانی دارد، به طوری که در تحقیقات Cetinkaya و همکارانش بر روی N-استیل سیستئین و در تحقیقات Cetin و همکارانش روی اثر عصاره Grape seed متوترکسات در موش صحرایی، مشخص شد که متوترکسات با افزایش پراکسیداسیون چربی، کاهش فعالیت SOD و کاتالاز کبدی باعث آسیب اکسیداتیو

مریبوط به خاصیت آنتی اکسیدانی کوئرستین است، که قادر به افزایش ظرفیت آنتی اکسیدانی و کاهش استرس اکسیداتیو در سلول می باشد (جدول شماره ۱ و تصاویر شماره ۱ و ۲). ظرفیت آنتی اکسیدانی پلاسمای (FRAP) در گروه دوم به طور معنی داری نسبت به گروه کنترل کاهش یافته است (جدول شماره ۱) ولی ظرفیت آنتی اکسیدانی پلاسمای به طور معنی داری در گروه تحت درمان با کوئرستین افزایش نشان داد و در عین حال با افزایش FRAP، کاهش MDA سرمی و بافت کلیوی نیز مشاهده شد (جدول شماره ۱ و تصویر شماره ۲) که می توان آن را به وجود آنتی اکسیدان کوئرستین نسبت داد^(۱۳). هم چنین، در مطالعه ای عبدالوهاب و همکاران (Spinaciaoleracea) بروی اثر اسفناج عراقی (Spinaciaoleracea) سمتیت کبدی متوترکسات در موش، نشان دادند که متوترکسات باعث افزایش ALT و MDA و کاهش گلوتاتیون می شود، که درمان با عصاره این گیاه منجر به کاهش معنی دار در MDA و ارتشاحات بافت کبد شد که این اثر مریبوط به خاصیت آنتی اکسیدانی کوئرستین موجود در اسفناج عراقی می باشد^(۳۶) که با نتایج هیستولوژیکی و آزمایشگاهی به دست آمده برای بافت کلیه در تحقیق ما همخوانی دارد. علاوه بر این، در تحقیق ما نتایج مطالعات هیستوپاتولوژیک کبد و کلیه همسو با یافته های بیوشیمیایی است و آن ها را تایید می کند (تصاویر شماره ۱، ۲، ۳ و ۴). در تحقیق انجام گرفته توسط ما یافته ها بیانگر وجود ارتشاحات لنفوسيتی شدید در بافت کبد و کلیه گروه تست بدون درمانی است که تنها متوترکسات دریافت کرده اند (تصاویر شماره ۳ و ۴)، اما تجویز کوئرستین سبب کاهش ارتشاحات لنفوسيتی و به طور کلی کم کردن آسیب کبدی و کلیوی شده است. Hu و همکاران در بررسی اثر کوئرستین، روتین و آلوپورینول بر سطح اسید اوریک و اختلال عملکرد کلیه ناشی از دریافت فروکتوز در موش نشان دادند که این مواد باعث کاهش اسید اوریک، اوره، کراتینین و کاهش ارتشاح سلول

آلکالین فسفاتاز، کراتینین و ترانس آمینازهای GOT و GPT سرم و از طرف دیگر باعث افزایش فعالیت کاتالاز کبدی و کلیوی، و همچنین ظرفیت آنتی اکسیدانی سرم می‌شود. بنابرین، کوئرستینیمی تواند به عنوان یک ماده درمانی سودمند در جلوگیری و درمان عوارض جانبی ناشی از مصرف متوترکسات مورد توجه قرار گیرد.

سپاسگزاری

این تحقیق مربوط به پایان‌نامه خانم الهام مرادی به شماره ثبت طرح تحقیقاتی ۷۶۱ معاونت تحقیقات و فناوری دانشگاه علوم پزشکی شهرکرد است. همچنین، بدین‌وسیله پژوهشگران مراتب تقدیر و تشکر خود را از پرسنل محترم مرکز تحقیقات بیوشیمی بالینی، مرکز تحقیقات گیاهان دارویی و مرکز تحقیقات سلولی و مولکولی دانشگاه علوم پزشکی شهرکرد که در اجرای این تحقیق ما را یاری نمودند، ابراز می‌دارند.

کبد می‌شود و استفاده از N-استیل سیستئین و عصاره کاتالاز و از طرف دیگر با کاهش سطح MDA باعث محافظت کبد در برابر اثرات سوء متوترکسات می‌شوند (۳۸، ۳۹) که با مطالعه انجام گرفته توسط ما، که نشان می‌دهد تجویز کوئرستین باعث افزایش فعالیت SOD، کاتالاز و از طرف دیگر باعث کاهش غلظت MDA سرمی و بافت کلیوی و نهایتاً محافظت کبد در برابر متوترکسات می‌شود، همخوانی دارد. در این مطالعه، میزان کراتینین سرم در گروه دریافت کننده متوترکسات، به طور معنی‌داری افزایش پیدا کرد، در حالی که تجویز کوئرستین باعث کاهش کراتینین سرم شد. بر اساس نتایج حاصل از این مطالعه، تجویز کوئرستین، به عنوان یک آنتی اکسیدان گیاهی، باعث کاهش آسیب کبدی و کلیوی ناشی از متوترکسات در موش آزمایشگاهی می‌شود، به‌طوری که از یک طرف باعث کاهش مالون دی‌آلدئید کبدی و کلیوی (به عنوان شاخص پراکسیداسیون چربی‌ها)،

References

1. Jouyban A, Shaghaghi M, Manzoori J, Soleymani J, Jalilvaez-Gharamaleki J. Determination of methotrexate in biological fluids and a parenteral injection using terbium-sensitized method. *Iran J Pharm Res* 2011; 10(4): 695-704.
2. Banji D, Pinnapureddy J, Banji OJ, Saidulu A, Hayath MS. Synergistic activity of curcumin with methotrexate in ameliorating Freund's Complete Adjuvant induced arthritis with reduced hepatotoxicity in experimental animals. *Eur J Pharmacol* 2011; 668(1-2): 293-298.
3. Bishnoi P, Kumari R, Thappa DM. Monitoring methotrexate hepatotoxicity in psoriasis. *Indian J Dermatol Venereol Leprol* 2011; 77(5): 545-548.
4. Çağlar Y, Özgür H, Matur I, Yenilmez ED, Tuli A, Gönlüşen G, et al. Ultrastructural evaluation of the effect of N-acetylcysteine on methotrexate nephrotoxicity in rats. *Histol Histopathol* 2013; 28(7): 865-874.
5. Malekzad F, Saeedi M, Ayatollahi A. Low dose Methotrexate for the treatment of generalized lichen planus. *Iran J Dermatol* 2012; 14(58): 131-135.
6. Iqbal MP. Accumulation of methotrexate in human tissues following high-dose methotrexate therapy. *J Pak Med Assoc* 1998; 48(11): 341-343.

7. Kumar BS, Chung BC, Kwon OS, Jung BH. Discovery of common urinary biomarkers for hepatotoxicity induced by carbon tetrachloride, acetaminophen and methotrexate by mass spectrometry-based metabolomics. *J Appl Toxicol* 2012; 32(7): 505-520.
8. Mohammadi-Samani S, Miri R, Salmanpour M, Khalighian N, Sotoudeh S, Erfani N. Preparation and assessment of chitosan-coated superparamagnetic Fe₃O₄ nanoparticles for controlled delivery of methotrexate. *Res Pharm Sci* 2013; 8(1): 25-33.
9. Ghaffari AR, Noshad H, Ostadi A, Ghojazadeh M, Asadi P. The effects of milk thistle on hepatic fibrosis due to methotrexate in rat. *Hepat Mon* 2011; 11(6): 464-468.
10. el-Badawi MG, Abdalla MA, Bahakim HM, Fadel RA. Nephrotoxicity of low-dose methotrexate in guinea pigs: an ultrastructural study. *Nephron* 1996; 73(3): 462-466.
11. Chen X. Protective effects of quercetin on liver injury induced by ethanol. *Pharmacogn Mag* 2010; 6(22): 135-141.
12. Duthie G, Morrice P. Antioxidant capacity of flavonoids in hepatic microsomes is not reflected by antioxidant effects in vivo. *Oxid Med Cell Longev* 2012; 2012: 165127.
13. Vieira EK, Bona S, Di Naso FC, Porawski M, Tieppo J, Marroni NP. Quercetin treatment ameliorates systemic oxidative stress in cirrhotic rats. *ISRN Gastroenterol* 2011; 2011: 604071.
14. Abarikwu SO. Protective effect of quercetin on atrazine-induced oxidative stress in the liver, kidney, brain, and heart of adult wistar rats. *Toxicol Int* 2014; 21(2): 148-155.
15. Abo-Salem OM, Abd-Ellah MF, Ghonaim MM. Hepatoprotective activity of quercetin against acrylonitrile-induced hepatotoxicity in rats. *J Biochem Mol Toxicol* 2011; 25(6): 386-392.
16. Zhang Y, Gao Z, Liu J, Xu Z. Protective effects of baicalin and quercetin on an iron-overloaded mouse: comparison of liver, kidney and heart tissues. *Nat Prod Res* 2011; 25(12): 1150-60.
17. Cuevas MJ, Tieppo J, Marroni NP, Tuñón MJ, González-Gallego J. Suppression of amphiregulin/epidermal growth factor receptor signals contributes to the protective effects of quercetin in cirrhotic rats. *J Nutr* 2011; 141(7): 1299-305.
18. Del Prete A, Scalera A, Iadevaia MD, Miranda A, Zulli C, Gaeta L, et al. Herbal products: benefits, limits, and applications in chronic liver disease. *Evid Based Complement Alternat Med* 2012; 2012: 837939.
19. Raygude KS, Kandhare AD, Ghosh P, Ghule AE, Bodhankar SL. Evaluation of ameliorative effect of quercetin in experimental model of alcoholic neuropathy in rats. *Inflammopharmacology* 2012; 20(6): 331-341.
20. Coballase-Urrutia E, Pedraza-Chaverri J, Cárdenas-Rodríguez N, Huerta-Gertrudis B, García-Cruz ME, Montesinos-Correa H, et al. Acetonic and Methanolic Extracts of Heterotheca inuloides, and Quercetin, Decrease CCl₄-Oxidative Stress in Several Rat Tissues. *Evid Based Complement Alternat Med* 2013; 2013: 659165.
21. Kose E, Sapmaz HI, Saruhan E, Vardi N, Turkoz Y, Ekinci N. Beneficial effects of montelukast against methotrexate-induced liver toxicity: a biochemical and histological study. *Scientific World Journal* 2012; 2012: 987508.
22. Luangaram S, Kukongviriyapan U, Pakdeechote

- P, Kukongviriyapan V, Pannangpatch P. Protective effects of quercetin against phenylhydrazine-induced vascular dysfunction and oxidative stress in rats. *Food Chem Toxicol* 2007; 45(3): 448-455.
23. Heidarian E, Rafieian-Kopaei M. Effect of silymarin on liver phosphatidate phosphohydrolase in hyperlipidemic rats. *Biosci Res* 2012; 9(2): 59-67.
24. Heidarian E, Soofiniya Y. Hypolipidemic and hypoglycemic effects of aerial part of *Cynara scolymus* in streptozotocin-induced diabetic rats. *J Med Plant Res* 2011; 5(13): 2717-2723.
25. Heidarian E, Movahed-Mohammadi G, Saffari J, Ghatreh-Samani K. Protective Effect of Hydroethanolic Extract of Cress against Hepatotoxicity due to Acetaminophen in Rats. *J Mazand Univ Med Sci* 2013; 23(102): 73-84 (Persian).
26. Heidarian E, Saffari J, Jafari-Dehkordi E. Hepatoprotective action of *Echinophora platyloba* DC leaves against acute toxicity of acetaminophen in rats. *J Diet Suppl* 2014; 11(1): 53-63.
27. Bradford MM. A rapid and sensitive method for the quantitation of microgram quantities of protein utilizing the principle of protein-dye binding. *Anal Biochem* 1976; 72: 248-254.
28. Heidarian E, Rafieian-Kopaei M. Protective effect of artichoke (*Cynara scolymus*) leaf extract against lead toxicity in rat. *Pharm Biol* 2013; 51(9): 1104-1109.
29. Rezaei A, Heidarian E. Co-administration of trientine and flaxseed oil on oxidative stress, serum lipids and heart structure in diabetic rats. *Indian J Exp Biol* 2013; 51(8): 646-652.
30. Dalaklioglu S, Genc GE, Aksoy NH, Akcet F, Gumuslu S. Resveratrol ameliorates methotrexate-induced hepatotoxicity in rats via inhibition of lipid peroxidation. *Hum Exp Toxicol* 2013; 32(6): 662-671.
31. Hadi NR, Al-Amran FG, Swadi A. Metformin ameliorates methotrexate-induced hepatotoxicity. *J Pharmacol Pharmacother* 2012; 3(3): 248-253.
32. Tunali-Akbay T, Sehirli O, Ercan F, Sener G. Resveratrol protects against methotrexate-induced hepatic injury in rats. *J Pharm Pharm Sci* 2010; 13(2): 303-310.
33. Faddah LM, Abdel Baky NA, Al-Rasheed NM, Al-Rasheed NM, Fatani AJ, Atteya M. Role of quercetin and arginine in ameliorating nano zinc oxide-induced nephrotoxicity in rats. *BMC Complement Altern Med* 2012; 12: 60.
34. Wang G, Zhang J, Liu L, Sharma S, Dong Q. Quercetin potentiates doxorubicin mediated antitumor effects against liver cancer through p53/Bcl-xL. 2012; 7(12): e51764.
35. Shanmugarajan TS, Prithwish N, Somasundaram I, Arunsundar M, Niladri M, Lavande JP, et al. Mitigation of azathioprine-induced oxidative hepatic injury by the flavonoid quercetin in wistar rats. *Toxicol Mech Methods* 2008; 18(8): 653-660.
36. Wahab FK, Abdul-Jalil Th Z. Study of Iraqi spinach leaves (Phytochemical and protective effects against methotrexate-induced hepatotoxicity in rats). *Iraqi J Pharm Sci* 2012; 21(2):8-17.
37. Hu QH, Wang C, Li JM, Zhang DM, Kong LD. Allopurinol, rutin, and quercetin attenuate hyperuricemia and renal dysfunction in rats induced by fructose intake:renal organic ion transporter involvement. *Am J Physiol Renal Physiol* 2009; 297(4): F1080-1091.

38. Cetin A, Kaynar L, Kocyigit I, Hacioglu SK, Saraymen R, Ozturk A, et al. Role of grape seed extract on methotrexate induced oxidative stress in rat liver. Am J Chin Med 2008; 36(5): 861-72.
39. Cetinkaya A, Bulbuloglu E, Kurutas EB, Kantarceken B.N-acetylcysteine ameliorates methotrexate-induced oxidative liver damage in rats. Med Sci Monit 2006; 12(8): BR274-278.